

# 鉄筋コンクリート部材の崩壊性状に関する研究

神戸大学 工学部 山田 榧

## 1. 序

鉄筋コンクリート構造物に対する終局強度理論は、最近内外とも可成り発展し、塑性解析の発展とあいまって、実施設計への適用についてもいろいろな試みがなされる段階に入ってきた。然しながら本問題は、従来、やゝもすると終局時ににおける耐力のみに注意が向けられ勝ちであつて、終局耐力に到達する前後の変形や、到達後の変形のひび、即ち靱性や耐力の低下状況、崩壊の様相については、殆んど明らかにされていなかつたと云ふよう。しかも、この終局耐力到達後の変形と崩壊性状を明確にし、各要素部材の崩壊に対する安全性を明確にせぬ限り、構造物に対する終局強度設計法自体もまた、あいまいさをまぬがれり。むしろ、本質的には、構成要素部材の耐力と変形性状、崩壊性状を正確に把握することが、ひとり終局強度設計法のみでなく、鉄筋コンクリート構造物のより正確な解析にとって不可欠である。

本論では、筆者のもとで数年來行なってきた、鉄筋コンクリート要素部材の定軸圧のもとにおける曲げ、剪断等の複合外力の作用下での耐力、靱性及び崩壊の性状を中心とした解析的、実験的研究の結果を総合的に論じ、鉄筋コンクリート構造物の耐力、靱性を支配する因子とその影響の程度を明確にしようとするものである。

## 2. 剪断スパン比 (Shear Span Ratio ( $a/d$ ))

横力をうける鉄筋コンクリート部材の靱性は、筆者らの研究によれば、その剪断スパン比 (Shear Span Ratio) の値によって、曲げ変形が卓越して靱性に富む領域と、剪断変形が卓越して脆性を示す領域とにわけられる。

ここで剪断スパン比 (Shear Span Ratio) とは、零モーメント点より最大モーメント点までの距離を  $a$ 、鉄筋コンクリート断面の有効丈を  $d$  とするとき、それらの比、( $a/d$ ) であらわされるものと定義する。 (Fig. 1. 参照)

これは、曲げモーメントと剪断力の値の比、或は曲げモーメント勾配の程度を示す値とも云える。

筆者らの実験研究によれば、通常程度の軸鉄筋比をもつ鉄筋コンクリート部材では、( $a/d$ ) = 2 を境として、( $a/d$ ) > 2 では曲げ変形が卓越し、( $a/d$ ) < 2 では剪断変形が卓越する。

\* 註 1) 此の境界値については、軸筋比のはか軸圧比が多少とも影響することがわかっているが、さらに解析的並に実験的検討を必要とする。いまかりに無筋コンクリート ( $b \times d$ 、材長  $a$ ) ポアソン比  $\mu = \frac{1}{3}$  片持梁の曲げ挠みを  $\delta_b$ 、剪断挠みを  $\delta_s$  とし、 $\delta_b \leq \delta_s$  の條件がこの境界値と仮定されば、固定端中央及び上下端の変位  $\delta$  の場合 :  $(\frac{a}{d}) \leq \sqrt{\frac{4+5\mu}{8}} = 0.778$   $(\delta_b = \frac{4Pa^3}{Ebd^3}, \quad \delta_s = \frac{(4+5\mu)Pa}{Ebd})$   
固定端中央の変位及び勾配不変の場合 :  $(\frac{a}{d}) \leq \sqrt{\frac{3(1+\mu)}{4}} = 0.936$   $(\delta_b = \frac{4Pa^3}{Ebd^3}, \quad \delta_s = (1+\mu) \frac{3Pa}{Ebd})$

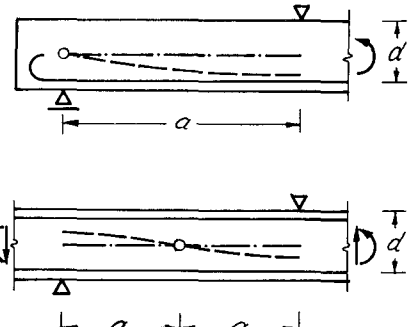


Fig. 1. Shear Span Ratio ( $a/d$ )

従つて本論では、 $(\alpha/d) > 2$  を曲げ材、 $(\alpha/d) < 2$  を剪断材と分類して論ずることとする。

### 3. 曲げ材の耐力と韌性 $(\alpha/d) > 2$

曲げ材、従つて  $(\alpha/d) > 2$  の終局耐力及び韌性については、既に多くの研究者<sup>[1][2][6]</sup>によって論じられている。解析的アプローチとしては、Pfrang<sup>[6]</sup> 及び筆者ら<sup>[1][2]</sup>のものがあげられよう。ここでは、筆者らが行った解析的並に実験的検討にもとづき曲げ材一般を論ずる。

#### 3-1. 曲げ材の終局耐力

曲げ材の終局耐力は、曲率  $D\phi$  の函数として一般に次式 であらわされる。(Fig. 2. 参照)

$$\frac{N}{F_c b D} = K_s' \beta_s p' + K_s \beta_s p + K_c' \frac{1}{D} x_{n1} - K_c'' \frac{1}{D} \zeta - K_c \frac{1}{D} \gamma \quad (1)$$

$$\frac{M}{F_c b D^2} = \left( \frac{1}{2} - d_{cr} \right) K_s' \beta_s p' - \left( \frac{1}{2} - d_{tr} \right) K_s \beta_s p + \left( \frac{1}{2} - \frac{1}{3} x_{n1} \right) K_c' \frac{1}{D} x_{n1} - \left( \frac{1}{2} - \frac{1}{3} \zeta \right) K_c'' \frac{1}{D} \zeta + \left( \frac{1}{2} + \frac{1}{3} \cdot \gamma \right) K_c \frac{1}{D} \gamma \quad (2)$$

ここで、

$$\begin{cases} \gamma = x_{n1} - 1 \\ \zeta = x_{n1} - \frac{\varepsilon_y}{D\phi} \\ K_s' = \frac{s\varepsilon'}{s\varepsilon'_y} = \frac{s\varepsilon}{\varepsilon_y} \quad K_c' = \frac{c\varepsilon'}{c\varepsilon'_y} = \frac{c\varepsilon}{\varepsilon_y} \\ K_s = \frac{s\varepsilon}{\varepsilon_y} = \frac{s\varepsilon}{\varepsilon_y} \quad K_c = \frac{c\varepsilon}{\varepsilon_y} = \frac{c\varepsilon}{\varepsilon_y} \\ K_c'' = K_c' - 1 \end{cases}$$

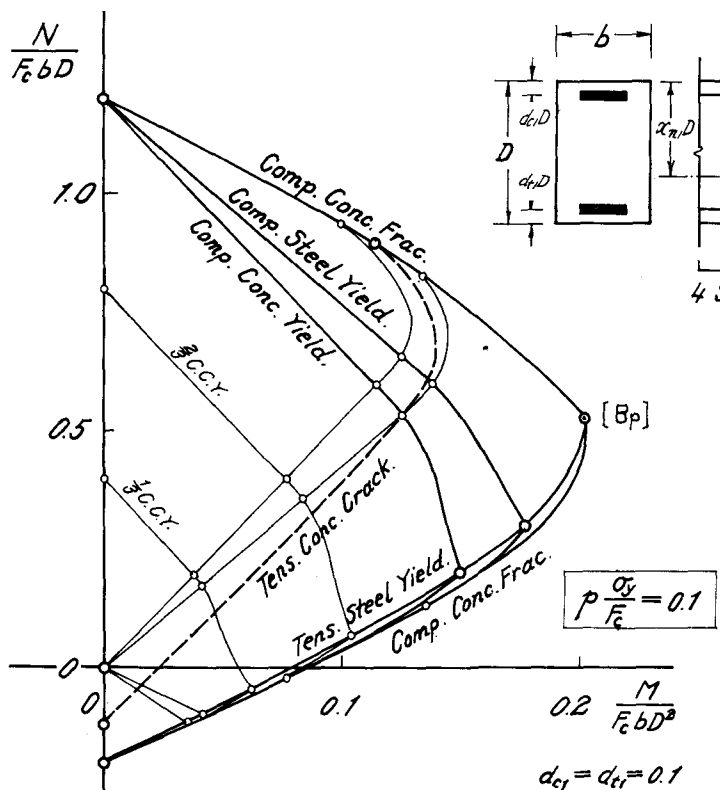
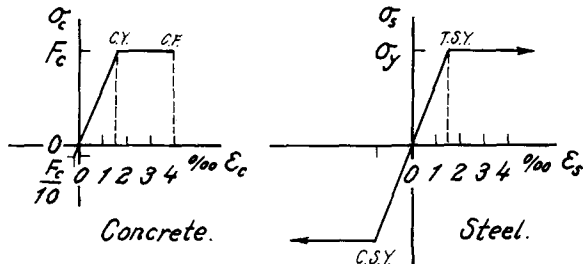


Fig. 3.  $N$ - $M$  Interaction Curve (山田・河村<sup>[1][2]</sup>)

Fig. 2. 正度境界線 (山田・河村<sup>[1][2]</sup>)

$N$  : 軸圧縮力(重心軸)。

$M$  : 曲げモーメント(重心軸)。

$N_0$  :  $M = 0$  における崩壊軸圧。

$M_0$  :  $N = 0$  における崩壊曲げメント。

$\phi$  : 曲率 ( $= \frac{1}{D}$ )

$F_c$  : コンクリート圧縮強度

$\beta_s p = \frac{\sigma_y}{F_c} \cdot p$  (Bewehrungsstärke)。

$\beta_c' p' = \frac{\sigma_y'}{F_c} \cdot p'$  (Bewehrungsstärke)

これらの関係より、 $N$ - $M$ -Interaction Curve を示せば Fig. 3. のごとくなる。図中に、Fig. 2 に示す歪度境界点に対応して、それぞれ引張側コンクリート引張亀裂発生條件線 (Tens. Conc. Crack) 引張側鉄筋引張降伏條件線 (Tens. Steel Yield)、圧縮側コンクリート圧縮降伏條件線 (Comp. Conc. Yield) 圧縮側鉄筋圧縮降伏條件線 (Comp. Steel Yield)、圧縮側コンクリート圧縮崩壊條件線 (Comp. Conc. Frac.) 等が示されて居り、外荷重としての軸力、曲げモーメントの組合せ載荷経路に従い、これらの各條件線との交点の通過とともに外力の変化にともなう断面内応力分布の変化、断面の変形の状況がわかる。

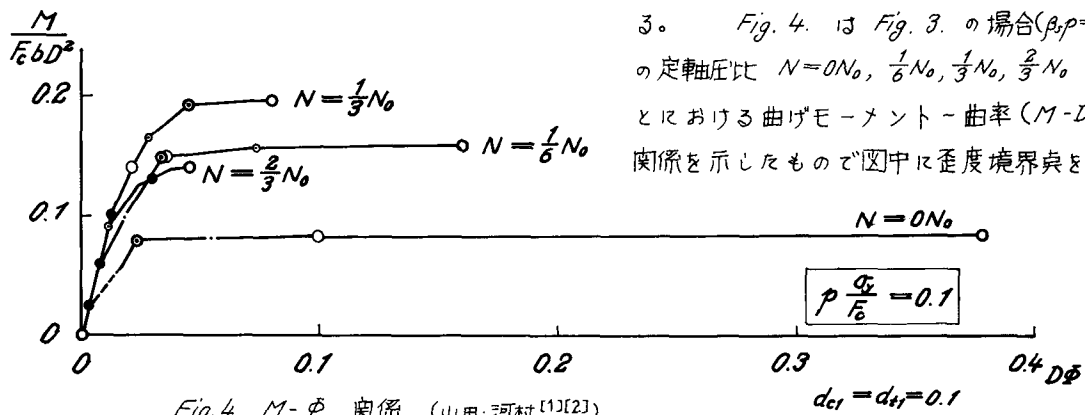


Fig. 4.  $M$ - $\Phi$  関係 (山田・河村<sup>[1][2]</sup>)

Fig. 4. は Fig. 3. の場合 ( $\beta_p = 0.1$ ) の定軸圧比  $N = 0N_0, \frac{1}{6}N_0, \frac{1}{3}N_0, \frac{2}{3}N_0$  のもとにおける曲げモーメント-曲率 ( $M$ - $D\Phi$ ) 関係を示したもので図中に歪度境界点を示す。

$$P \frac{\sigma_y}{E} = 0.1$$

$$d_{cr} = d_{st} = 0.1$$

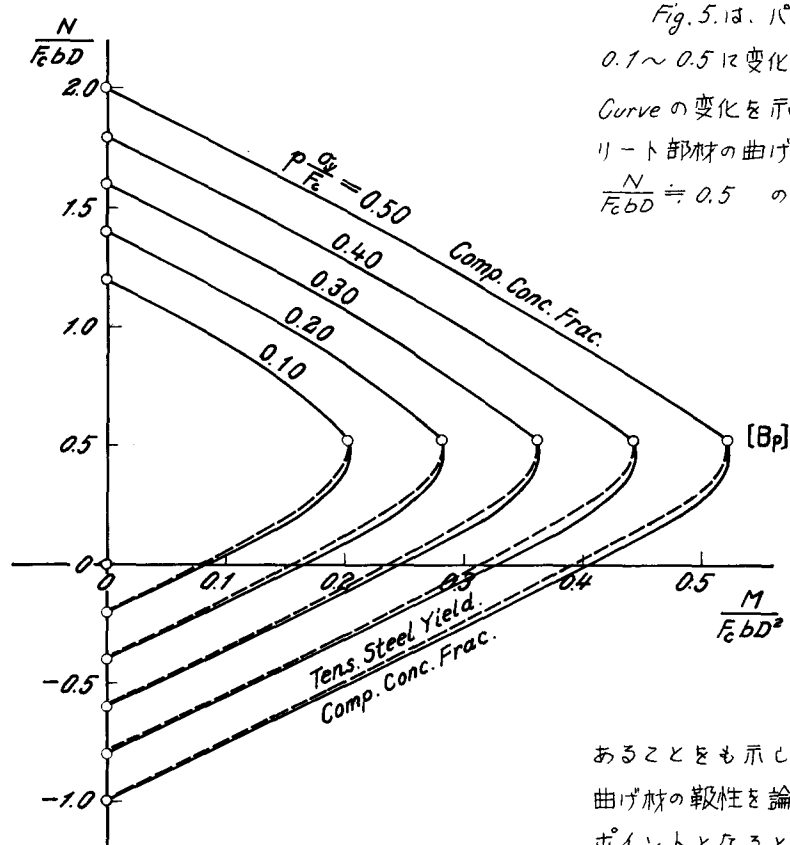


Fig. 5. 鉄筋コンクリート柱終局條件

Fig. 5. は、パラメータ  $P \frac{\sigma_y}{E}$  を 0.1 ～ 0.5 に変化させたときの終局耐力条件 Curve の変化を示したもので、鉄筋コンクリート部材の曲げ終局耐力は、軸圧比  $\frac{N}{N_0}$  が  $\frac{N}{F_c b D} = 0.5$  の Balancing Point [ $B_p$ ] 以上 の軸圧のもとでは、圧縮側コンクリートの圧壊により、また、 $\frac{N}{F_c b D} = 0.5$  以下の軸圧のもとでは、引張鉄筋の引張降伏 (破線) により決まる。さらにこの [ $B_p$ ] は  $\beta_p$  も即ち  $P \frac{\sigma_y}{E}$  の値の変化にかかわらずほぼ一定であることを示している。

このことは、曲げ材の非性を論ずる上に、さわめて重要なポイントとなるところである。

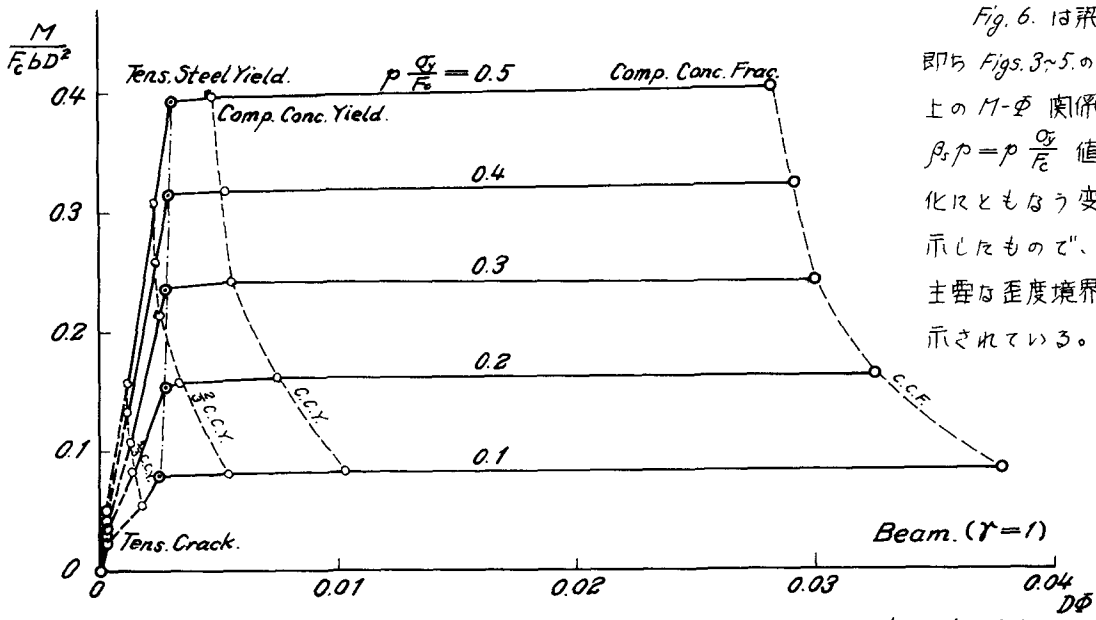


Fig. 6. 鉄筋コンクリート梁  $M-\phi$  関係

Fig. 6. は鋼材、即ち Figs. 3~5 の  $M$  軸上の  $M-\phi$  関係の  $\beta_s \rho = \rho \frac{\sigma_y}{F_c}$  値の変化にともなう変化を示したもので、図中主要な歪度境界点が示されている。

### 3-2. 曲げ材の韌性

Fig. 3. より、鉄筋コンクリート曲げ材の終局耐力は、 $\frac{N}{F_c b D} > 0.5$  では圧縮縁コンクリートの圧壊により、また  $\frac{N}{F_c b D} < 0.5$  では、引張鉄筋の引張降伏により、きまることがわかり、さらに Fig. 5. よりこの境界値  $[B_p]$  が  $\rho \frac{\sigma_y}{F_c}$  の値に関係なく、 $\frac{N}{F_c b D} = 0.5$  であることがわかった。

この両事実より  $[B_p]$  より上、従って  $\frac{N}{F_c b D} > 0.5$  の領域では、エネルギー吸收は主として、圧縮側コンクリートによって行われ、韌性はあまり期待できないことがわかる。但し、皆無というものではなく、猶若干の韌性は存在し、交番繰返し曲げに対しても振巾の程度によって猶繰返し曲げに耐えうることが確かめられている。<sup>[2]</sup>

$\frac{N}{F_c b D} < 0.5$  の領域においては、エネルギー吸收は、主として引張鉄筋の降伏により行われ、充分な韌性が期待される。韌性は、特に低軸圧比のとき飛躍的に大きくなる。この場合も、部材としての崩壊は、圧縮縁コンクリートの圧壊によって生ずる。

### 3-3. 曲げ材の韌性に対する Hoop の効果

鉄筋コンクリート曲げ材は、軸圧比が  $\frac{N}{F_c b D} \geq 0.5$  のいづれの場合も、部材の崩壊は、圧縮側コンクリートの圧壊によってきまるものであり、このコンクリートの圧壊は、Hoop 補強のない無筋コンクリートでは Fig. 7 に示すごとく  $E_{max} = 3.8\%$  程度で起るといわれ、解析にもこのデータがそのまま用いられることが多いが、通常、鉄筋コンクリート部材では Hoop 補強がなされるものであり、Hoop 補強によって韌性は大巾に改善される。

Fig. 8. は筆者らが行なった矩形フーフ（角柱供試体:  $133 \times 133 \text{ mm} \times 300 \text{ mm}$ 、フーフ至  $\phi 6, \phi 9$ ）によるコンクリートの補強効果に関する

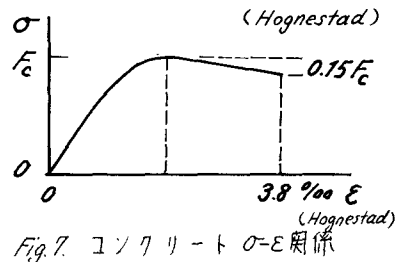


Fig. 7. コンクリート  $\sigma-E$  関係

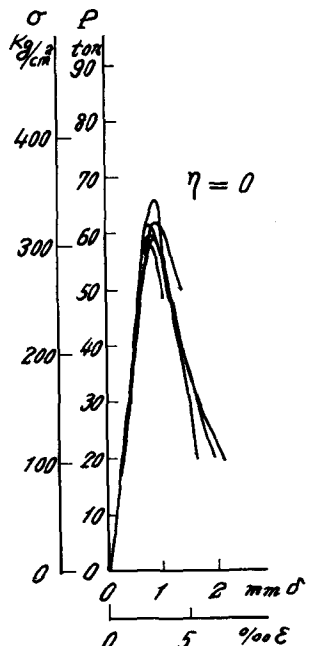


Fig. 8(a). 矩形柱  $\sigma$ - $\epsilon$  関係(無筋)

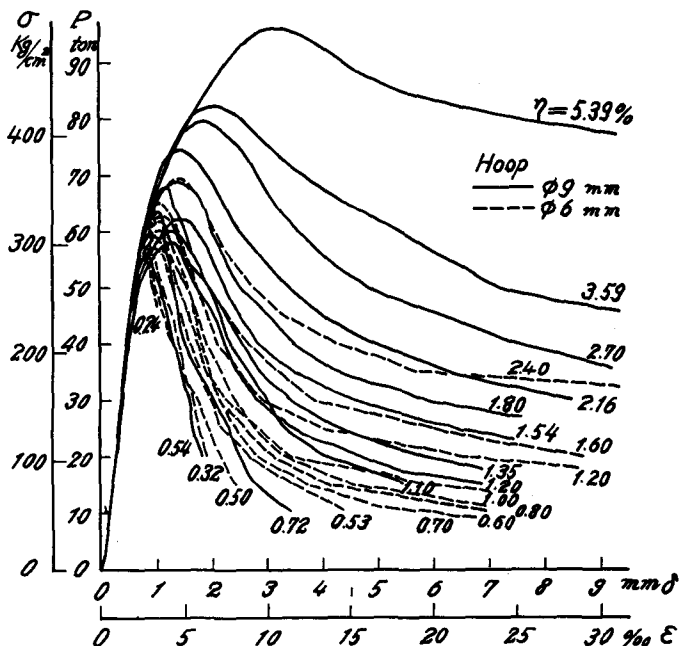


Fig. 8(b). 矩形フープ補強柱  $\sigma$ - $\epsilon$  関係 (山田・前地[5])

中心圧縮実験結果で、コンクリートの圧縮軟性増大に Hoop が絶大な効果をもつことを示している。Fig. 8 によれば、矩形 Hoop にあっても、軟性のみならず耐力に対する効果があることを知る。ここにあら筋比  $\eta$  は

$$\eta = \frac{a_s}{bx}$$

$a_s$ : Hoop 1本の断面積、

$b$ : 部材巾、

$x$ : Hoop 間隔、

で定義されるものとする。

Fig. 9(a) は矩形 Hoop に直勾配のある場合の荷重 - 最外縁歪度変化を示したもので、Fig. 9(b) の中心圧縮試験結果と対応するものであり、中心圧縮試験結果によって直勾配のある場合もよく近似しうることを示している。

Fig. 10. は、三分点載荷單純梁の定メントスパンにおける Stirrup の効果を、あら筋比  $\eta$  を種々に変えて

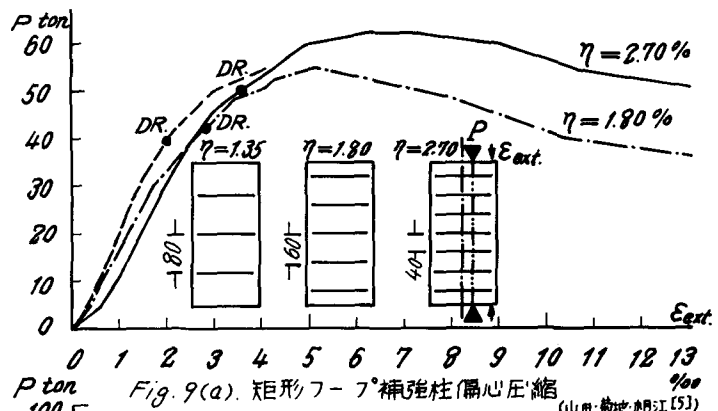


Fig. 9(a). 矩形フープ補強柱偏心圧縮 (山田・前地・相江[5])

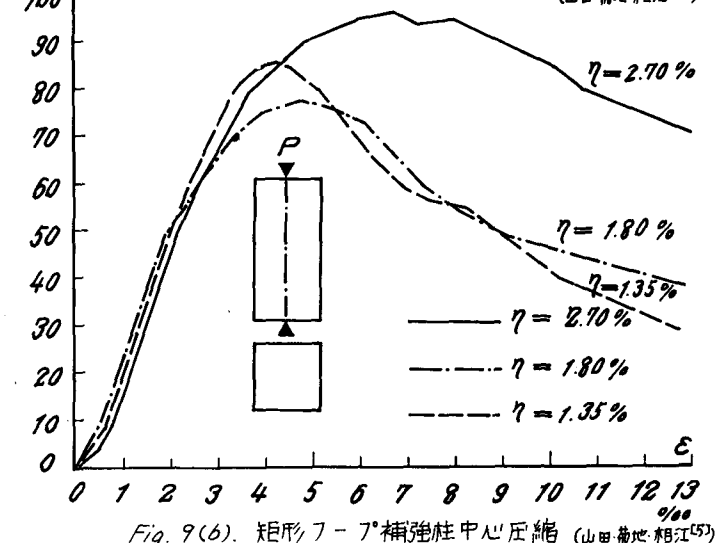


Fig. 9(b). 矩形フープ補強柱中心圧縮 (山田・前地・相江[5])

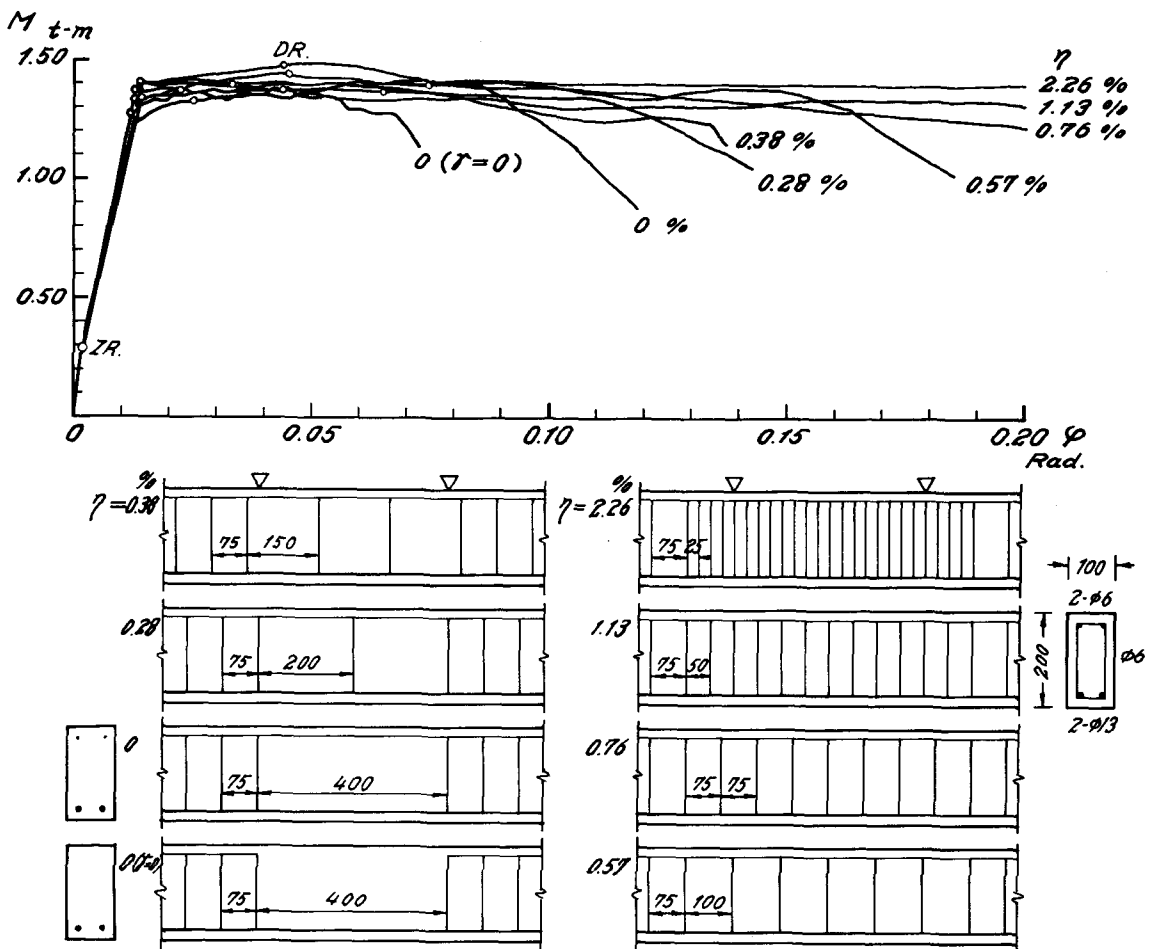


Fig. 10. 鉄筋コンクリート梁 プラスチックヒンジに対する Stirrup の効果 (山田・高嶋・小山田・増本)

比較した結果を示したもので、Stirrup によって韌性が著しく改善される結果を明瞭に示している。

Fig. 11. は、柱材における Hoop の効果を軸圧比  $N = \frac{2}{3}N_0, \frac{1}{3}N_0, \frac{1}{6}N_0$  別々に比較したもので、柱材においては、耐力、韌性ともに効果を示すことがわかる。

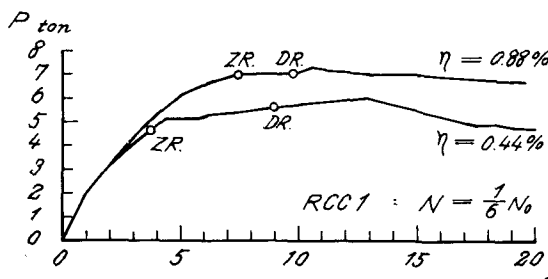
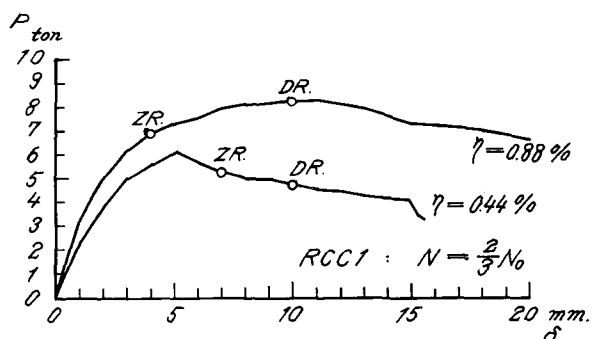


Fig. 11. 鉄筋コンクリート柱材に対する Hoop の効果 (山田・河村<sup>[1][2]</sup>)

#### 4. 剪断材の耐力と韌性 $(\alpha/d) < 2$

剪断材  $(\alpha/d) < 2$  の耐力と韌性については、今まで殆んど知られていなかったと云つてよい。ために十勝沖震害の一因をなしたとも考之られる。解析的アプローチにつけても、Kani<sup>[7]</sup> が誤材について、特異な試みを行つたにすぎず、柱材については実験、解析とも皆無であつた。本論では筆者らが数年來行ってきた実験結果をもとに検討を加える。

##### 4-1. 剪断材の耐力

剪断材の終局剪断抵抗は、 $(\alpha/d)$ 値の減少とともに、著しく増大する。*Fig. 12.* はこの状況を示したもので、対応する軸圧比のもとにおける  $(\alpha/d)=5$  の曲げ材の剪断抵抗にくらべ、いづれも  $(\alpha/d)$  値に逆比例して剪断抵抗が増大している。この増大の程度に対する軸圧比の効果はさほど明瞭ではない。

この範囲における曲げ抵抗の減少を比較したのが、*Fig. 13* であり、 $(\alpha/d) < 2$  の領域では、 $(\alpha/d)$  値の減少とともに、曲げ抵抗は減少し、 $(\alpha/d) > 5$  の曲げ材にくらべほぼ半減する。この減少の程度に対する軸圧比の効果もさほど明瞭ではない。梁材の場合の  $(\alpha/d) < 5$  の曲げ抵抗の減少は、Kani によって報告されているところである。

##### 4-2. 剪断材の韌性

種々の定軸圧比  $N = \frac{1}{3}N_0, \frac{1}{6}N_0, 0$  (誤状態) のもとでの剪断スパン比  $(\alpha/d)$  の変化とともに剪断力 - 層間相対変位角 ( $Q - \theta$ ) 関係を示したのが *Fig. 14.(a)(b)(c)* であり、図中 ZR は引張亀裂、SR は剪断亀裂、LR は加力真向を結ぶ亀裂の発生、×は爆裂を示す。

図の右側に示す *Photo 1.(a)(b)(c)* は、*Fig. 14.(a)(b)(c)* の対応する供試体であり上より順次  $(\alpha/d)$  値が 0.6, 1.2, 1.8, 2.4 のものである。

右の *Photo 2* は、軸圧比  $N = \frac{1}{3}N_0$ ,  $(\alpha/d) = 1.8$ ,  $\eta = 0$  のもとでの剪断爆裂の直前、瞬間、直後の状況を示したものであり、その激しさがわかる。即ち  $(\alpha/d) < 2$  では韌性は全く存在せぬ。

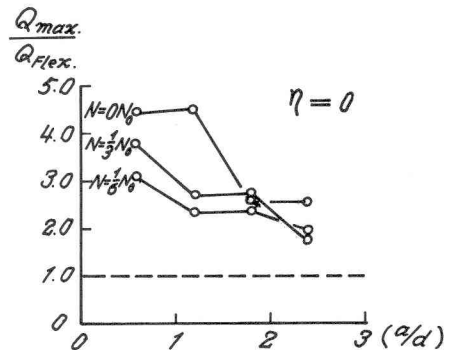


Fig. 12.  $(\alpha/d)$  値と終局剪断抵抗の変化

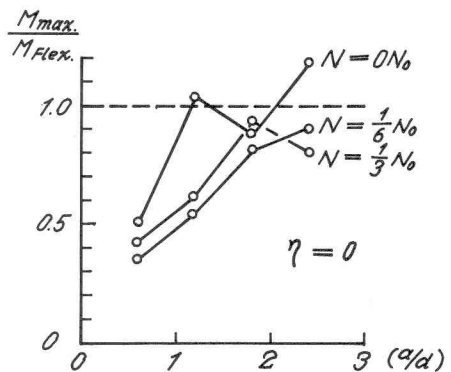
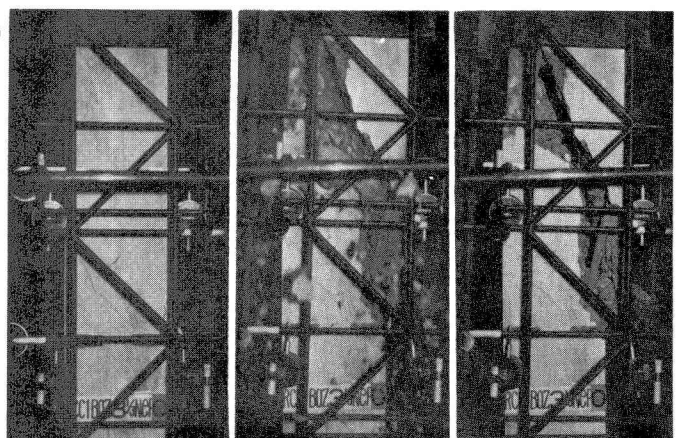


Fig. 13.  $(\alpha/d)$  値と抵抗モーメント変化

Photo. 2. 剪断爆裂



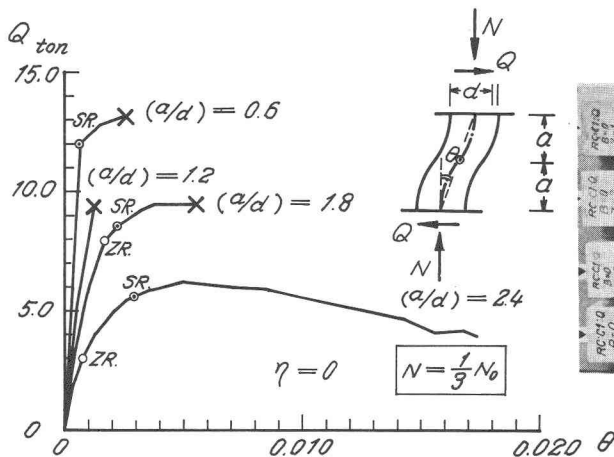


Photo. 1. 鉄筋コンクリート柱剪断

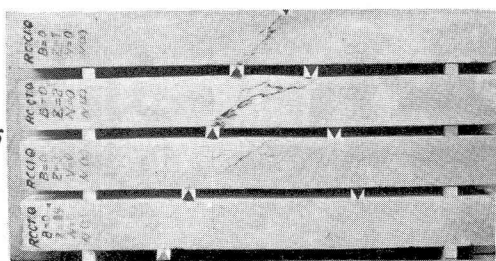
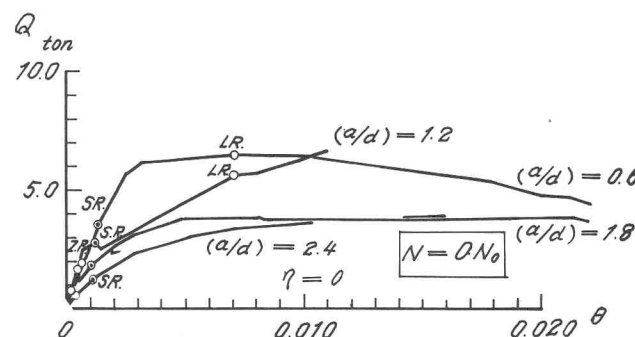
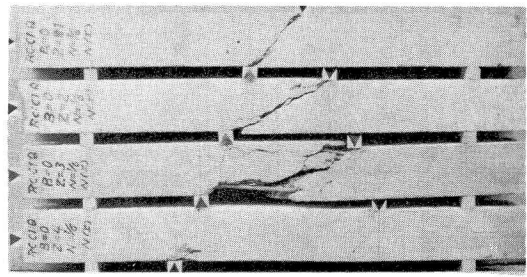
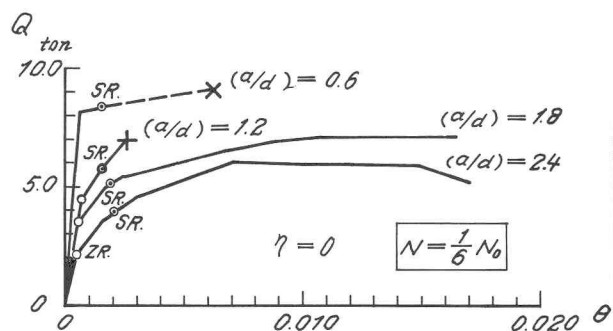
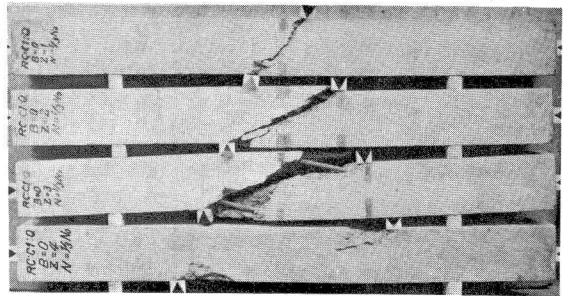


Fig. 14. 鉄筋コンクリート柱剪断力 - 層間相対変位角関係 (山田・降中<sup>[3][4]</sup>)

Fig. 14. よりわかることは、 $(a/d) < 2$  においては、剛性は高いが層間相対変位角はごくわずかで爆裂を起す。この爆裂を生ずる  $\theta$  は  $0.001 \sim 0.003$  程度で、曲げ材の降伏層間相対変位角に較べて、はるかに小さい。

#### 4-3. 剪断材の靭性に対する Hoop の効果

剪断材の靭性に対しても当然 Hoop 補強による直接的な効果が期待される。Fig. 15 は、軸圧比  $N = \frac{1}{3} N_0$ ,  $(a/d) = 1.2$  の条件のもとであら筋比  $\eta$  を  $0, 0.22\%, 0.44\%, 0.88\%$  と種々に

変化させたときの Hoop による補強効果

を示したものである。  $\gamma = 0.44\%$

までは、いづれも瞬間に爆裂を起し、

剪断面内のあら筋は、往々切斷する。

即ち、 $(\alpha/d) < 2$  の場合に、剪断補強によつて韌性を期待するためには、本例の

ごとく、片側陣曲筋比  $\rho = 1\%$ ,  $(\alpha/d) = 1.2$

の場合  $\gamma > 0.5 \sim 0.8\%$  以上を要すること

がわかる。

鉄筋コンクリート柱の剪断爆裂は、初期に生じた曲げ引張側の引張亀裂や爆裂以前に生じる微細な剪断亀裂とは無関係に、加力点を結ぶ直線上に生ずる。

柱の剪断爆裂に際しては、爆裂の寸前柱軸抵抗が瞬間に若干増加する現象がみられる。これは剪断爆裂の寸前、内部応力配分が変化するものと考えられ、若干の時間経過がみられる。

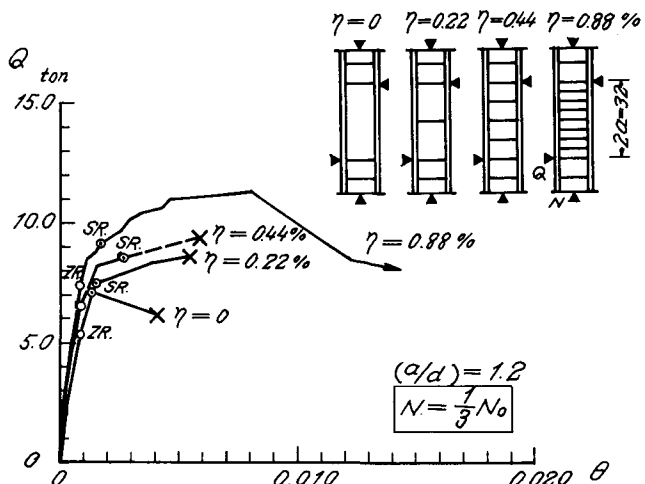


Fig. 15. 鉄筋コンクリート柱剪断に対する Hoop の効果  
(山田・降井<sup>[3][4]</sup>)

## 5. 結

以上定軸圧<sup>1)</sup>の作用下に、横力をうける鉄筋コンクリート部材の曲げ、剪断の終局耐力と韌性並に崩壊性状について検討した。その結果、特に横力をうける鉄筋コンクリート部材にあっては、その剪断スパン比  $(\alpha/d) = 2$  を境として、耐力、変形性状、崩壊性状が一変することを明らかにした。  
(Fig. 14, Photo 1 参照)。即ち  $(\alpha/d) > 2$  にあっては、材は主として曲げ変形を生じ韌性に富みその性状は軸圧比  $\frac{N}{E_0 D} \geq 0.5$  によって支配されるが、いづれにしても圧縮側コンクリートの圧壊によるやかましい崩壊を示す(Fig. 3)のに対し、 $(\alpha/d) < 2$  では材は主として剪断変形を生じ、剪断抵抗は高まる(Fig. 12)が曲げ抵抗は低下し、韌性は乏しく、爆裂的な崩壊性状を示す。(Fig. 14, Photos 1, 2 参照)。これらの場合における部材韌性に対する Hoop の直接的  $(\alpha/d) < 2$ 、間接的  $(\alpha/d) > 2$  効果を示した。(Figs. 8, 9, 10, 11, 15 参照)。

## 6. 謝 辞

本研究は筆者が数年未行つてきし実験的、解釈的研究成果の一部であり、当時研究室にあつて、御協力戴いた、河村 広、降井繁蔵の両君を始め御協力戴いた研究室員の諸君並に実験用資材を御提供賜つた、大阪セメント、八幡製鉄、住友金属、神戸製鋼の各社にあつく御礼申し上げます。

## 7. 文 献

- [1] Yamada, M., Kawamura, H. : Elasto-plastische Biegeformänderungen der Stahlbetonsäulen u.-balken, Abh. IVBH. Bd. 28-I, 1968, S. 193/220.
- [2] 山田 稔・河村 広：軸圧をうける鉄筋コンクリート部材の塑性曲げ変形性状に関する研究(I)(II)(III), 日本建築学会論報, No. 123, 124, 130.
- [3] Yamada, M., Furui, S. : Shear Resistance and Explosive Cleavage Failure of Reinforced Concrete Members, Final Rep. 8. Congr. IABSE, 1968, pp. 107/1102.
- [4] 山田 稔・降井繁蔵：軸圧をうける鉄筋コンクリート部材の剪断耐力刀に關する研究(I)(II)(III)(IV), 日本建築学会論報号外 S4142 逆編 S4243.
- [5] 山田 稔・古谷嘉朗・菊池 敏郎・相江寿志：コンクリートの塑性変形能能力及ぼすフーチ筋(Ⅰ)(Ⅱ)(Ⅲ)(Ⅳ), 日本建築学会近畿 S. 4243 44. 論報 S. 4243 44.
- [6] Prang, E.O., Siess, C.P., Sozen, M.A. : Load-Moment-Curvature Characteristics of R.C. Cross Sections, ACI, Jul. 1964, pp. 763/779.
- [7] Kani, G.N.J. : The Riddle of Shear Failure and its Solution, ACI, Apr. 1964, pp. 441/467.